

Abbildung von Zeichenklassen auf Trajektklassen

1. Wie in Toth (2025a, b) gezeigt, kann man jede Zeichenklasse und jede Realitätsthematik in ihren $3! = 6$ Permutationen auf sog. Trajektklassen abbilden.

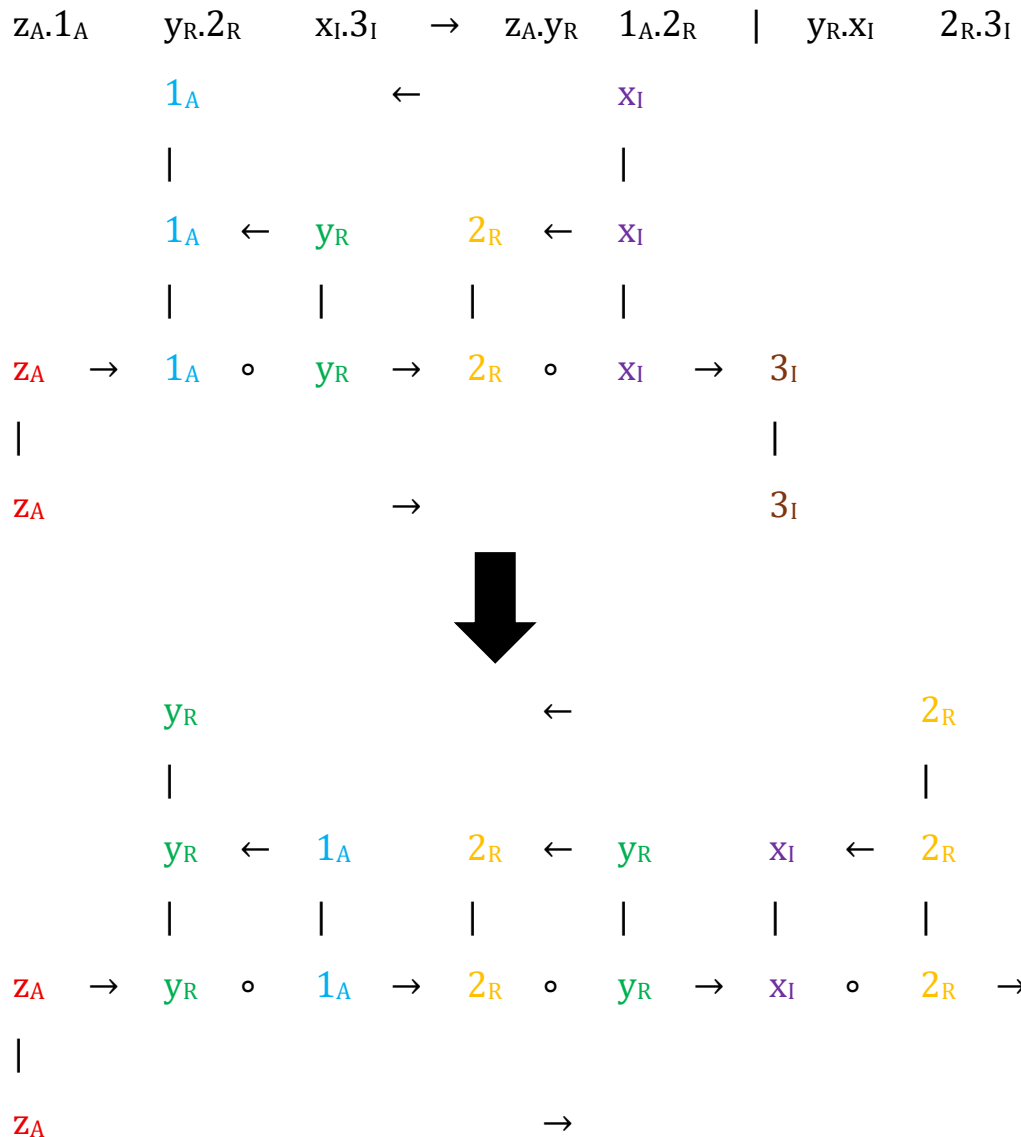
Zeichenklassen → Trajektklassen

$3_A.X_A$	$\underline{2}_R.y_R$	$1_I.z_I$	\rightarrow	$3_A.\underline{2}_R$	$x_A.\underline{y}_R$	$ $	$\underline{2}_R.1_I$	$\underline{y}_R.z_I$
$3_A.X_A$	$\underline{1}_R.z_R$	$2_I.y_I$	\rightarrow	$3_A.\underline{1}_R$	$x_A.\underline{z}_R$	$ $	$\underline{1}_R.2_I$	$\underline{z}_R.y_I$
$2_A.y_A$	$\underline{3}_R.x_R$	$1_I.z_I$	\rightarrow	$2_A.\underline{3}_R$	$y_A.\underline{x}_R$	$ $	$\underline{3}_R.1_I$	$\underline{x}_R.z_I$
$2_A.y_A$	$\underline{1}_R.z_R$	$3_I.x_I$	\rightarrow	$2_A.\underline{1}_R$	$y_A.\underline{z}_R$	$ $	$\underline{1}_R.3_I$	$\underline{z}_R.x_I$
$1_A.z_A$	$\underline{3}_R.x_R$	$2_I.y_I$	\rightarrow	$1_A.\underline{3}_R$	$z_A.\underline{x}_R$	$ $	$\underline{3}_R.2_I$	$\underline{x}_R.y_I$
$1_A.z_A$	$\underline{2}_R.y_R$	$3_I.x_I$	\rightarrow	$1_A.\underline{2}_R$	$z_A.\underline{y}_R$	$ $	$\underline{2}_R.3_I$	$\underline{y}_R.x_I$

Realitätsthematiken → Trajektklassen

$z_A.1_A$	$\underline{y}_R.\underline{2}_R$	$x_I.3_I$	\rightarrow	$z_A.\underline{y}_R$	$1_A.\underline{2}_R$	$ $	$\underline{y}_R.x_I$	$\underline{2}_R.3_I$
$y_A.2_A$	$\underline{z}_R.\underline{1}_R$	$x_I.3_I$	\rightarrow	$y_A.\underline{z}_R$	$2_A.\underline{1}_R$	$ $	$\underline{z}_R.x_I$	$\underline{1}_R.3_I$
$z_A.1_A$	$\underline{x}_R.\underline{3}_R$	$y_I.2_I$	\rightarrow	$z_A.\underline{x}_R$	$1_A.\underline{3}_R$	$ $	$\underline{x}_R.y_I$	$\underline{3}_R.2_I$
$x_A.3_A$	$\underline{z}_R.\underline{1}_R$	$y_I.2_I$	\rightarrow	$x_A.\underline{z}_R$	$3_A.\underline{1}_R$	$ $	$\underline{z}_R.y_I$	$\underline{1}_R.2_I$
$y_A.2_A$	$\underline{x}_R.\underline{3}_R$	$z_I.1_I$	\rightarrow	$y_A.x_R$	$2_A.\underline{3}_R$	$ $	$\underline{x}_R.z_I$	$\underline{3}_R.1_I$
$x_A.3_A$	$\underline{y}_R.\underline{2}_R$	$z_I.1_I$	\rightarrow	$x_A.\underline{y}_R$	$3_A.\underline{2}_R$	$ $	$\underline{y}_R.z_I$	$\underline{2}_R.1_I$

2. Durch die Abbildungen werden die Teilrelationen der bifunktionalen Relationen getrennt und neu geordnet nach den Gesetzen der Verschränkung. Im folgenden zeigen wir diese Restrukturierung, indem wir die Teilrelationen mit Farben markieren und exemplarisch die Abbildung der in der obigen Tabelle ersten Permutation der Zeichenklasse ZK1 = (3.x, 2.y, .1z) mit Hilfe von Diamonds konstruieren (vgl. Toth 2025c).



Literatur

Toth, Alfred, Permutationen systemischer Randrelationen. In: Electronic Journal for Mathematical Semiotics, 2025a

Toth, Alfred, Transformation von Zeichenklassen in Zeichensituationen und Umgebungen. In: Electronic Journal for Mathematical Semiotics, 2025b

Toth, Alfred, Trajektische Diamonds permutierter Realitätsthematikenformen. In: Electronic Journal for Mathematical Semiotics, 2025c

30.12.2025